

مطالعه و بررسی تطبیقی ساختارهای جبران‌ساز برای ADSL سیستم‌های

محمد رضا پکروان (استادیار)

دانشکده فنی و مهندسی برق، دانشگاه صنعتی شریف

موضوع این پژوهش مطالعه، تحلیل و بررسی ساختارهای مودم‌های ADSL، مدل‌سازی و تحلیل رفتاری آنها و خصوصاً ساختار جبران‌ساز آنها است. برای جبران‌سازی روش‌های متفاوتی ارائه شده است که مبانی آنها مورد تحلیل و بررسی قرار گرفته‌اند. در این نوشتار ضمن بررسی مبانی نظری برخی از مهم‌ترین روش‌ها، نتایج عملکرد آنها را روی یک خط آزمایشی نموده شبیه‌سازی می‌کنیم. روش‌های به کار گرفته شده در این بررسی عبارت‌اند از: روش بیشینه‌کردن نسبت سیگنال به نویز کوتاه‌شده، روش جبران‌سازی DC بر پایه‌ی حذف و کمینه‌کردن، روش طراحی جبران‌ساز بر پایه‌ی بیشینه‌کردن نسبت سیگنال به نویز هندسی، روش طراحی بر پایه‌ی مقادیر ویژه، نتایج شبیه‌سازی‌های انجام شده که برای یکی از شرایط تعریف شده در استاندارد انجام شده‌اند نشان می‌دهد که روش جبران‌سازی بر پایه‌ی مقادیر ویژه می‌تواند به ظرفیت گذرهای بیشتری در پیاده‌سازی ساختار موردنظر دست یابد. در عین حال، این روش پیچیدگی‌کثیری از روش‌های مبتنی بر بیشینه‌کردن نسبت سیگنال به نویز هندسی دارد.

واژگان کلیدی: جبران‌ساز، ADSL، DMT، مدل‌سازی، دست‌یابی پرسرعت سیمی.
pakravan@sharif.edu

مقدمه

بیشینه‌کردن ظرفیت کانال بهینه نیستند اما به دلیل سرعت زیاد و قابلیت پیاده‌سازی آسان مورد توجه و استفاده‌ی فراوان قرار گرفته‌اند. مبانی نظری این روش در تحقیقات گذشته مورد بررسی و تحلیل قرار گرفت. برخی از روش‌های دیگری که می‌توانند برای این منظور استفاده شوند در این نوشتار مورد بررسی قرار می‌گیرند.

روش طراحی TEQ مبتنی بر کمینه‌کردن نسبت سیگنال به نویز کوتاه‌شده (MSSNR)

در یکی از پژوهش‌های ابتدایی، به جای روش جبران‌سازی مسئله‌ی طرح TEQ از منظور کوتاه‌کردن کانال بررسی، و شیوه‌ی جدیدی ارائه شد.^[۱] هدف در این روش یافتن یک شیوه‌ی جبران‌سازی در حوزه‌ی زمان (TEQ) است که بتواند ضمن ثابت نگهداشتن انرژی داخل پنجره هدف، انرژی‌های پاسخ ضربه‌ی کوتاه‌شده (SIR)^[۲] خارج از پنجره‌ی هدف را کمیته کند. در این روش مانند روش‌های متداول دیگر فرض بر این است که پاسخ ضربه‌ی کانال مشخص است. مسئله‌ی تخمین مناسب کانال دارای ابعاد قابل توجهی است که در این مختصرا به جزئیات آن نمی‌پردازیم، اما ایده‌ی کلی این است که فرستنده به ارسال نماد مشخصی می‌پردازد که گیرنده مقدار آن را برای هر زیر کانال می‌داند، و گیرنده با مقایسه‌ی اطلاعات دریافتی، اطلاعات

یکی از بخش‌های مهم شبکه‌ی مخابرات قسمت مربوط به دست‌یابی مشترکین به شبکه (Access) است که شاهد تحولات وسیعی بوده است. یکی از تکنولوژی‌هایی که در چند سال اخیر در این بخش مورد توجه قرار گرفته و شاهد گسترش وسیعی بوده، و نیز نسل جدیدی از ساختارهای فنی و تجهیزات مخابراتی را با خود به همراه دارد، مودم‌های با سرعت بالا برای استفاده روی خطوط تلفن با استفاده از فن «مدولاسیون چندحاملي گستته»^[۳] (DMT) است که مشخصاً در سیستم‌های ADSL مورد استفاده قرار می‌گیرد. در تحلیل نظری ساختار این مودم‌ها و نیز شبیه‌سازی و پیاده‌سازی آن‌ها، یکی از مهم‌ترین و در عین حال پیچیده‌ترین بخش‌ها ساختار جبران‌ساز آنهاست که موضوع مهمی برای کنترل رفتار و نیز بهینه‌سازی عملکرد این مودم‌ها است. موضوع این پژوهش مطالعه، تحلیل و بررسی ساختارهای جبران‌ساز این مودم‌ها است.

تحقیقات بهمنظور بهبود کارایی سیستم‌های DMT در کاربردها و استانداردهای حال و آینده ادامه دارد. در طراحی روش‌های جبران‌سازی در حوزه‌ی زمان (TEQ)^[۴] یا فرکانس (FEQ)^[۵]، هدف اصلی اتخاذ تدبیر مناسب برای دست‌یابی به فرج بیت بالاتر در این سیستم‌ها است. روش‌های طراحی متفاوتی برای TEQ وجود دارد. از بین این طرح‌ها، طرح‌های مبتنی بر کمینه‌کردن میانگین محدود خط (MMSE)^[۶] متداول‌ترین نوع در مودم‌های ADSL تجاری‌اند. هرچند روش‌های MMSE از نظر

باشد. راه حل فوق، در صورتی که B تکین⁸ باشد، پیچیده‌تر است. محققین در بررسی‌های خود رابطه‌ی $w^T A^{-1} w = 1$ با شرط $w^T B w = 1$ بیشینه کردند.^[1] در این حالت، A باید معین مثبت و معکوس‌پذیر باشد که برای اغلب کاتال‌های فیزیکی درست است.

روش MSSNR بخشی از SIR را که مولد تداخل میان‌سمولی ISI است کمینه می‌کند. اگر انرژی خارجی پنجره‌ی هدف صفر در نظر گرفته می‌شود، کاتال به طور کامل کوتاه و ISI به طور کامل حذف می‌شود. راهی که انرژی صفر خارج پنجره‌ی هدف را نتیجه می‌دهد برای بیشینه‌کردن نجح انتقال بسیار مناسب است، زیرا در این حالت ISI به طور کامل حذف شده است. اما عملاً این نتیجه به دست نمی‌آید و راه حل MSSNR تضمینی برای بیشینه‌شدن ظرفیت کاتال ایجاد نمی‌کند. دلیل این امر مشابه روش MMSE است، یعنی قوان ISI باقی‌مانده در نواحی با نویز بالا در ناحیه‌ی فرکانسی قرار گیرد. این روش فقط انرژی خارجی پنجره‌ی هدف را کمینه می‌کند و کاری به مکان ISI باقی‌مانده در حوزه‌ی فرکانس ندارد؛ به عبارت دیگر این روش توزیع ISI را کنترل نمی‌کند.

در بررسی‌های بعدی، نه تنها انرژی خارجی پنجره‌ی هدف کمینه شد، بلکه گزینه‌ی دیگری برای کمینه‌کردن نیز اضافه شد. این گزینه نماینده‌ی انرژی وزنه‌دار فرکانسی جبران‌ساز است. با استفاده ازتابع وزنه می‌توان پاسخ فرکانس کاتال را ایجاد کرد. این عمل از بهره‌های بزرگ جبران‌ساز در زیرکاتال‌های بدون استفاده جلوگیری می‌کند، اگرچه این روش ISI باقی‌مانده را کمینه نمی‌کند. مشکل دوم روش MSSNR پیچیدگی محاسباتی به دلیل تجزیه‌ی Cholesky و مقادیر ویژه است. برای حل این مشکل، محققین یک روش توان معکوس ارائه کردند.^[4] این روش از وارون کردن ماتریس یا تجزیه‌ی Cholesky بی نیاز است، و مستقیماً بین دو ماتریس رابطه‌ی بارگشتی ایجاد می‌کند تا بتواند TEQ بهینه را در حالت MSSNR به دست آورد.

برای پیاده‌سازی سریع‌تر روش MSSNR الگوریتمی به نام (DC)⁹ پیشنهاد شده است.^[5] ایده اصلی در این روش تقسیم مسئله‌ی طرح جبران‌ساز به مسائل کوچک‌تر و راحت‌تر برای حل و نهایتاً ترکیب نتایج با هم است. فیلتری با طول محدود N به صورت همگرددی¹⁰ $N - 1 - N$ فیلتر با طول ۲ بیان می‌شود. در مسئله‌ی TEQ، جبران‌ساز به تعدادی جبران‌ساز با طول ۲ تقسیم می‌شود. هر جبران‌ساز با طول ۲ فقط یک اتصال میانی¹¹ تامش‌خص دارد، زیرا اولین اتصال معادل ۱ قرار داده می‌شود. این موضوع شبیه شرط اتصال واحدی است که در روش MMSE استفاده شده است. طراحی فیلتری با طول N_w نیاز به طرح ۱ – N_w فیلتر با طول ۲ است. برای $\frac{N_w}{2}$ فیلتر با طول ۲، این روش فیلتر با طول ۲ موجب بهینه‌شدن w_i می‌شود و این فیلتر بهینه‌شده را با پاسخ ضربه‌ی کاتال همگرا می‌کند، تا پاسخ ضربه جدید کاتال را در مرحله‌ی ۱ + i به دست آورد. وقتی ۱ – N_w فیلتر با طول ۲ محاسبه شده همگرا می‌شوند، یک جبران‌ساز با طول N_w به دست می‌آید. دو روش متفاوت طرح DC وجود دارد: ۱. جبران‌ساز DC مبتنی بر کمینه‌کردن؛ ۲. جبران‌ساز DC مبتنی بر حذف‌کردن. در ادامه به بررسی این دو روش می‌پردازیم.

الف) جبران‌ساز DC مبتنی بر کمینه‌کردن
در این روش، جبران‌ساز در هر مرحله رابطه‌ی SSNR تعریف شده در معادله‌ی ۱ را با یک فیلتر با طول ۲ تعریف شده با $[1, g_i]^T = w_i$ بیشینه می‌کند، یا به طور معادل، معکوس آن رابطه را کمینه می‌کند.

ارسالی مشخصات کاتال را تخمین می‌زند و پاسخ ضربه‌ی کاتال (n) را به دست می‌آورد. با این فرض نمونه‌های پاسخ ضربه‌ی کوتاه‌شده درون پنجره‌ی هدف و بیرون این پنجره چنین نوشته می‌شود:

$$h_{win} = \begin{bmatrix} h_{\Delta+1} & h_{\Delta} & \dots & h_{\Delta-N_w+2} \\ h_{\Delta+2} & h_{\Delta+1} & \dots & h_{\Delta-N_w+3} \\ \vdots & \ddots & \ddots & \vdots \\ h_{\Delta+\nu+1} & h_{\Delta+\nu} & \dots & h_{\Delta-N_w+\nu+1} \\ w_0 \\ w_1 \\ \vdots \\ w_{N_w-1} \end{bmatrix} = H_{win} w \quad (1)$$

$$h_{wall} = \begin{bmatrix} h_0 & 0 & \dots & 0 \\ h_1 & h_0 & \dots & 0 \\ \vdots & \vdots & \ddots & \vdots \\ h_\Delta & h_{\Delta-1} & \dots & h_{\Delta-N_w+1} \\ h_{\Delta+\nu+2} & h_{\Delta+\nu+1} & \dots & h_{\Delta-N_w+\nu+2} \\ \vdots & \vdots & \ddots & \vdots \\ h_{L-1} & h_{L-2} & \dots & h_{L-N_w+1} \\ 0 & h_{L-1} & \dots & h_{L-N_w+2} \\ \vdots & \vdots & \ddots & \vdots \\ 0 & 0 & \dots & h_{L-1} \\ w_0 \\ w_1 \\ \vdots \\ w_{N_w-1} \end{bmatrix} = H_{wall} w \quad (2)$$

در این معادلات، w_i مجموعه ضرایب جبران‌ساز h_i نمونه‌های پاسخ ضربه‌ی کاتال، Δ محل نسبی پنجره نسبت به ابتدای پاسخ ضربه، N_w طول جبران‌ساز مورد نظر L طول اولیه‌ی پاسخ ضربه‌ی کاتال و ν طول پنجره‌ی مورد نظر هستند. درنتیجه انرژی داخل و خارج پنجره‌ی هدف و معادله‌ی بهینه‌سازی حاصله عبارت اند از:

$$h_{win}^T h_{win} = w^T H_{win}^T H_{win} w = w^T B w \quad (3)$$

$$h_{wall}^T h_{wall} = w^T H_{wall}^T H_{wall} w = w^T A w \quad (4)$$

$$\min_w w^T A w \quad s.t. \quad w^T B w = 1 \quad (4)$$

حل کردن این مسئله، مانند بیشینه‌کردن SSNR تعریف شده با این معادله است:

$$SSNR = \frac{w^T B w}{w^T A w}$$

جواب این مسئله عبارت است از $w_{opt} = (\sqrt{B})^{-1} p_{min}$ که در آن $p_{min} = (\sqrt{B})^{-1} p_{min}$ ماتریس B و p_{min} بردار ویژه متناظر با مقدار ویژه‌ی کمینه‌ی ماتریس مرکب $(\sqrt{B})^{-1} A (\sqrt{B^T})^{-1}$ است. ماتریس B برای آن که تجزیه‌ی Cholesky داشته باشد باید معین مثبت⁷ باشد. همچنین فرض شده است که ماتریس B معکوس‌پذیر است؛ این فرض در صورتی درست است که $\nu < N_w$.

که در آن $L_{h_{i-1}}$ طول h_{i-1} است. انرژی که باید کمینه شود عبارت است از:

$$h_i^{wall^T} h_i^{wall} = \sum_{k \in S} (h_{i-1}(k) + g_i h_{i-1}(k-1))^2 \quad (8)$$

که در آن $S = \{1, 2, \dots, \Delta, \Delta + \nu + 2, \dots, L_{h_{i-1}}\}$. کمینه‌ی معادله‌ی ۸ با مشتق‌گیری نسبت به g_i و معادل صفر قرار دادن آن به دست می‌آید. پاسخ عبارت است از:

$$g_i = \frac{\sum_{k \in S} h_{i-1}(k-1) h_{i-1}(k)}{\sum_{k \in S} h_{i-1}^2(k-1)} \quad (9)$$

طرح TEQ با همگرایی $1 - N_w$ فیلتر با طول ۲ به دست می‌آید. این روش DC از همیچگونه تجزیه‌ی ماتریس یا معکوس‌کردن ماتریس استفاده نمی‌کند، و به همین دلیل برای پایه‌سازی با سرعت بالا در سیستم‌های عملی مناسب است. این روش هرچند نسبت به روش‌های قبلی از نظر پیچیدگی محاسباتی بهتر است، اما تمامی مشکلات روش MSSNR را دارد.

روش طراحی TEQ مبتنی بر بیشینه‌کردن نسبت سیگنال به نویز هندسی^{۱۲} (MGSNR)

در هر سیستم مخابراتی، هدف نهایی رسیدن به ظرفیت کانال است. یادآور می‌شود که ایده‌ی برای طرح TEQ مبتنی بر ظرفیت کانال معرفی شده است.^[۲] در این بخش ابتدا ظرفیت کانال را برای کانال‌های چندحامله^{۱۳} معرفی می‌کنیم و سپس روش بیشینه‌کردن SNR هندسی را معرفی می‌کنیم.

ظرفیت کانال چندکاریه

اگر تعداد زیرکانال‌ها، $1 + N/2 + 1$ (معنی $N/2 + 1$ دو بعدی و دو زیرکانال یک بعدی) بزرگ باشد، معقول است که تصور کنیم طیف توان نویز در زیرکانال‌ها یکنواخت است. در این حالت، هر زیرکانال را می‌توان به صورت یک کانال AWGN مستقل مدل شود. ظرفیت قابل دسترس یک کانال چند کاریه به صورت جمع ظرفیت کانال‌های AWGN (با فرض استقلال کانال‌ها) نوشته می‌شود:

$$b_{DMT} = \sum_{i \in S} \log_2 \left(1 + \frac{SNR_i^{MFB}}{\Gamma} \right) \quad bits/symbol \quad (10)$$

که در آن i اندیس زیرکانال، S مجموعه اندیس‌های \overline{N} زیرکانال استفاده شده از $N/2 + 1$ زیرکانال، SNR_i^{MFB} نسبت سیگنال به نویز باند فیلتر منطبق (MFB) در کانال نام مطابق با تعریف در معادله‌ی ۱۲، و Γ فاصله‌ی SNR برای رسیدن به ظرفیت کانال شانون است و فرض می‌شود که در همه‌ی زیرکانال‌ها ثابت است. فاصله‌ی SNR تابعی از چندین عامل - شامل روش مدولاسیون، احتمال خطای مجاز (P_e) بهره‌ی رمزگذاری (γ_{eff}) و حاشیه‌ی مطلوب سیستم - است. حاشیه‌ی سیستم برای مدل کردن خطای به حساب می‌آید و در سیستم‌های ADSL معمولاً ۶ dB است. اگر بخواهیم کانالی با نسبت سیگنال به نویز x dB، مقدار مشخصی بیت را با نزد نظری عبور دهد، در عمل نسبت سیگنال به نویز $x + 6$ dB واقعاً مصرف می‌شود. حاشیه‌ی سیستم ۶ dB مطمئن می‌سازد که با خطاهای ناخواسته

از آنجا که w_i دارای طول ۲ است، ماتریس‌های A_i و B_i ماتریس‌های Toeplitz $2 * 2$ هستند. برای نامین فیلتر معادله‌ی SSNR چنین خواهد شد:

$$\frac{w_i^T A_i w}{w_i^T B_i w} = \frac{\begin{bmatrix} 1 & g_i \end{bmatrix} \begin{bmatrix} a_{1,i} & a_{2,i} \\ a_{2,i} & a_{1,i} \end{bmatrix} \begin{bmatrix} 1 \\ g_i \end{bmatrix}}{\begin{bmatrix} 1 & g_i \end{bmatrix} \begin{bmatrix} b_{1,i} & b_{2,i} \\ b_{2,i} & b_{1,i} \end{bmatrix} \begin{bmatrix} 1 \\ g_i \end{bmatrix}} = \frac{a_{1,i} + 2a_{1,i}g_i + a_{2,i}g_i^2}{b_{1,i} + 2b_{1,i}g_i + b_{2,i}g_i^2} \quad (5)$$

ماتریس‌های A_i و B_i دارای اندیس i هستند، زیرا در هر مرحله پاسخ ضربه‌ی جدید کانال که به تغییر A_i و B_i می‌انجامد، محاسبه می‌شود. مخرج معادله‌ی ۵ به ازای همیچگونه g_i صفر نمی‌شود. g_i بهینه با مشتق‌گیری از معادله‌ی ۲ نسبت به g_i معادل صفر قرار دادن آن به دست می‌آید. پاسخ عبارت است از:

$$g_i = \frac{-(a_{2,i}b_{1,i} - a_{1,i}b_{2,i}) \pm c_i}{2(a_{2,i}b_{2,i} - a_{1,i}b_{1,i})} \quad (6)$$

که در آن

$$c_i =$$

$$\sqrt{(a_{2,i}b_{1,i} - a_{1,i}b_{2,i})^2 - 4(a_{2,i}b_{2,i} - a_{1,i}b_{1,i})(a_{2,i}b_{1,i} - a_{1,i}b_{2,i})}. \quad (7)$$

از این معادله بهترین جواب برای g_i انتخاب می‌شود و جواب همیشه مقداری حقیقی است.

ب) جبران‌ساز DC مبتنی بر حذف کردن

در روشن جبران‌ساز DC مبتنی بر حذف کردن، از محاسبات فراوان A_i و B_i در هر مرحله اجتناب می‌شود. به جای بیشینه‌کردن تنها SSNR، انرژی خارجی پنجره‌ی هدف کمینه می‌شود. چون شرط اتصال میانی واحد برای هر فیلتر با طول ۲ برقرار است، شرط انرژی SIR درونی پنجره‌ی هدف لازم نیست.

فرض کنید h_i پاسخ ضربه‌ی جدید کانال و h_i^{wall} جدید در هر مرحله‌ی i باشد. h_i پاسخ ضربه‌ی کانال و h_i^{wall} و w_i است. ضمناً طول h_i با i به دلیل همگردی افزایش می‌یابد. در مرحله‌ی نام:

$$h_i^{wall} = \begin{bmatrix} h_{i-1}(1) & & & & & \\ h_{i-1}(2) & & & & & h_{i-1}(1) \\ \vdots & & & & & \vdots \\ h_{i-1}(\Delta) & & & & & h_{i-1}(\Delta-1) \\ h_{i-1}(\Delta+\nu+2) & & & & & h_{i-1}(\Delta+\nu+1) \\ \vdots & & & & & \vdots \\ h_{i-1}(L_{h_{i-1}}) & & & & & h_{i-1}(L_{h_{i-1}}-1) \end{bmatrix} \begin{bmatrix} 1 \\ g_i \end{bmatrix}$$

$$= \begin{bmatrix} h_{i-1}(1) + 0 & & & & & \\ h_{i-1}(2) + h_{i-1}(1)g_i & & & & & \\ \vdots & & & & & \vdots \\ h_{i-1}(\Delta) + h_{i-1}(\Delta-1)g_i & & & & & \\ h_{i-1}(\Delta+\nu+2) + h_{i-1}(\Delta+\nu+1)g_i & & & & & \\ \vdots & & & & & \vdots \\ h_{i-1}(L_{h_{i-1}}) + h_{i-1}(L_{h_{i-1}})g_i & & & & & \end{bmatrix} \quad (8)$$

رفته باشد، یعنی کانال های بدون SNR لازم برای حمل بیت استفاده نشوند.^[۷] در این حالت، مسئله بیشینه کردن معادله^{۱۶} تبدیل به بیشینه کردن عبارت معادله^{۱۷} می شود.

$$L(b) = \frac{1}{N} \sum_{i \in S} \ln |B_i|^{\gamma} \quad (17)$$

معادله^{۱۷} با جایگزینی معادله^{۱۵} در معادله^{۱۶} و گرفتن لگاریتم از آن با فرض عدم وابستگی b و w بدست آمده است. B_i ، زامین ضربی از FFT از b طبق معادله^{۱۸} تعریف می شود.

$$B_i = \sum_{k=0}^{N-1} b_k e^{-j \frac{\pi}{N} k i} \quad (18)$$

البته فرض عدم وابستگی b و w درست نیست، زیرا وقتی b_{opt} با بیشینه کردن معادله^{۱۷} محاسبه شد، TIR بهینه^{w_{opt}} (در حالت MMSE) با استفاده از معادله^{۱۹} بدست می آید:

$$w_{opt}^T = b_{opt}^T R_{xy} R_{yy}^{-1} \quad (19)$$

که در آن R_{xy} ماتریس های همبستگی متقابل^[۸] بین ورودی و خروجی کانال، و R_{yy} ماتریس خودهمبستگی^[۹] خروجی کانال است. با این انتخاب TEQ بهینه کردن می توان مطمئن بود که MSE برای TIR بهینه کمینه شده است.^[۱۰] هنگامی که معادله^{۱۷} بیشینه می شود، شرط ارزی واحد روی b قرار می گیرد تا از بهره دیگری در TEQ جلوگیری شود. این شرط تابع هزینه را به ازای $= [B_i]^T / |B_i|$ بهینه می کند، که این یک جبران سازی صفر کننده^[۱۰] را برای کانال بیان می کند.

جبران سازی کامل کانال هدف نیست، زیرا در حقیقت یکی از دلایل کاربرد مدلولایون چند کاری ره اجتناب از جبران سازی کامل - به علت آن که در جبران سازی کامل جبران ساز با درجه بالا مورد نیاز خواهد بود - است. به علاوه، جبران سازی کامل با یک جبران ساز با طول کوتاه، همان گونه که برای TEQ ها متدال است، باعث ایجاد MSE بزرگ می شود. بنابراین شرط اضافی دیگری لازم است تا MSE_{max} زیر سطح آستانه MSE_{max} باقی بماند. این سطح آستانه با تغییر توان سیگنال، سطح نویز و یا کانال باید عوض شود. تنظیم سطح آستانه به عدد صحیحی برای یک کانال داده شده، برای کارایی خوب اهمیت فراوانی دارد. با توجه به شرط های یاد شده محققین TIR بهینه را مطابق معادله^{۲۰} بیان کردند.

$$\begin{aligned} \max_b \sum_{i \in S} \ln |B_i|^{\gamma} & s.t. \|b\|^{\gamma} = 1 \text{ and } b^T R_{\Delta} b \leq MSE_{max} \\ R_{\Delta} &= \begin{bmatrix} \circ_{(\nu+1) \times \Delta} & I_{\nu+1} & \circ_{(\nu+1) \times P} \end{bmatrix} \\ & \left(\frac{1}{S_x} I_{N_w + L - 1} + H^T R_{nn}^{-1} H \right)^{-1} \begin{bmatrix} \circ_{\Delta \times (\nu+1)} \\ I_{\nu+1} \\ \circ_{P \times (\nu+1)} \end{bmatrix} \end{aligned} \quad (20)$$

در اینجا I_m ، $m \times n$ ، $P = N_w + L - \Delta - \nu - 2$ ماتریس صفر $n \times m$ ، S_x ماتریس همانی $m \times m$ ، H ماتریس $N_w \times N_w$ و R_{nn} ماتریس همگرددی $(N_w + L - 1) \times (N_w + L - 1)$ است. این یک مسئله بهینه سازی غیر خطی شرطی است که برای فرم بسته جوابی ندارد، اما ممکن است با روش های عددی حل شود. روش طراحی TEQ

نرخ بیت مطلوب هنوز پشتیبانی می شود. فاصله^{۱۱} SNR در حالتی که مدلولایون QAM^{۱۵} باشد با معادله^{۱۱} مدل می شود.

$$\Gamma \approx \frac{\gamma_m}{\gamma_{eff}} \left(Q^{-1} \left(\frac{P_e}{2} \right) \right)^2 \quad (11)$$

با فرض آن که سیگنال ورودی و نویز ایستا به مفهوم وسیع باشند، SNR در نامین زیر کانال با معادله^{۱۲} تعریف می شود.

$$SNR_i^{MFB} = \frac{S_{x,i} |H_i|^{\gamma}}{S_{n,i}} \quad (12)$$

که در آن $S_{x,i}$ توان سیگنال انتقال داده شده، $S_{n,i}$ توان نویز کانال، و H_i بهره دیف کانال در زیر کانال λ است. در اینجا فرض شده است که زیر کانال ها با اندازه هی کافی باریک باشند تا پاسخ فرکانسی کانال و طیف توان سیگنال ارسالی در هر زیر کانال ثابت باشد. تعریف معادله^{۱۶} ISI^[۱۲] و جبران ساز را شامل نمی شود. این بیشترین SNR قابل دریافت یا MFB است. اگر کانال ISI داشته باشد یا جبران ساز استفاده شده باشد، تعریف باید اصلاح شود.

روش طراحی TEQ مبتنی بر بیشینه کردن SNR

هندرسی

روش بیشینه کردن SNR هندسی، تابع هزینه^[۱۳] ظرفیت کانال را که مبتنی بر SNR هندسی تعریف شده در معادله^{۱۳} است بیشینه می کند.

$$GSNR = \Gamma \left(\left[\prod_{i \in S} \left(1 + \frac{SVR_i^{EQ}}{\Gamma} \right) \right]^{1/N} - 1 \right) \quad (13)$$

SNR هندسی با جایگذاری معادله^{۱۰} در^{۱۳} طبق معادله^{۱۴} به ظرفیت کانال مربوط می شود:

$$b_{DMT} = \overline{N} \log_r \left(1 + \frac{GSNR}{\Gamma} \right) \quad bits/symbol \quad (14)$$

به این ترتیب همه زیر کانال ها با هم عمل می کنند، مانند آن که N کانال با نویز گوسی جمع شونده باشند و در هر کانال نسبت توان سیگنال به توان نویز برابر مقدار GSNR مطابق معادله^{۱۳} باشد. بنابراین بیشینه کردن GSNR معادل بیشینه کردن ظرفیت کانال است. در معادله^{۱۳} Zیر کانال در معادله^{۱۲} اصلاح می شود تا اثر جبران ساز را نیز شامل شود:^[۱۴]

$$SNR_i^{EQ} = \frac{S_{x,i} |B_i|^{\gamma}}{S_{n,i} |W_i|^{\gamma}} \quad (15)$$

که در آن $S_{x,i}$ توان سیگنال، $S_{n,i}$ توان نویز، B_i و w_i بهره دی و w در زیر کانال نام هستند. محاسبات با تعریف زیر از GSNR ادامه پیدا می کند،^[۱۵] که با صرف نظر کردن از جملات $+1$ و -1 در معادله^{۱۳} به دست می آید.

$$GSNR \approx \left[\prod_{i \in S} SNR_i^{EQ} \right]^{1/N} \quad (16)$$

این تقریب وقتی SNR در هر زیر کانال بزرگ تر از ۱ باشد درست است و "۱" ها می توانند حذف شوند. این فرض زمانی معقول است که بهینه سازی پهناور باشد به کار

مقادیر ویژه ارائه شد،^[۱۰] تا بر پیچیدگی محاسباتی بهینه‌سازی غیرخطی شرطی فائق آید. این روش مخصوص کارایی مشابه با پیچیدگی محاسباتی کمتر است. برای بعضی کانال‌ها، این روش غیربهینه کارایی بهتری می‌دهد.

برپایه‌ی MGSNR بر بیشینه‌کردن تقریب GSNR استوار است. این روش به دلیل تقریب‌های نادرست، از نظر بیشینه‌کردن نرخ قابل دست‌یابی انتقال بهینه نیست. مهم‌ترین تقریب، تعریف SNR زیرکانال (SNR_i^{EQ}) در معادله‌ی ۱۵ است. این تعریف اثر جبران‌ساز را شامل می‌شود، اما قادر اثراً ISI است، اگرچه هدف TEQ کمینه‌کردن ISI است. می‌توان معادله ۱۵ را با اصلاحی که در آن اثر ISI دیده شود به فرم زیر نوشت.

$$SNR_i^{ISI} = \frac{S_{x,i} |B_i|^2}{S_{x,i} |B_i|^2 + S_{n,i} |W_i|^2} \quad (21)$$

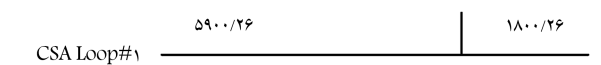
در این بخش روش طراحی TEQ ارائه می‌شود، که مبتنی بر مقادیر ویژه و بردارهای MGSNR ویژه‌ی ماتریس R_Δ است. پیچیدگی محاسباتی این روش نسبت به روش MGSNR بسیار کم‌تر شده است، اما نزد اطلاعاتی تقریباً یکسانی دارند. برای معرفی این روش محاسبات انجام شده را ارائه می‌دهیم.^[۱۱]

فرض می‌شود بردارهای ستونی p_0, p_1, \dots, p_n و مقادیر $\lambda_0, \lambda_1, \dots, \lambda_n$ به ترتیب بردارهای واحد و مقادیر ویژه متناظر آنها در ماتریس R_Δ هستند. با توجه به تبدیل تشابه واحد^[۲۵]، ماتریس R_Δ به فرم معادله درمی‌آید.

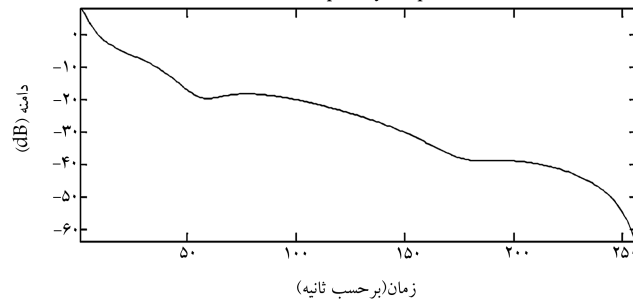
$$R_\Delta = P \wedge P^T \quad (22)$$

که در آن $P = [p_0 \ p_1 \ \dots \ p_n]$ و یک ماتریس قطری شامل بردارهای متعامدند و می‌توان آن‌ها را به عنوان یک مجموعه بردارهای پایه در نظر گرفت.

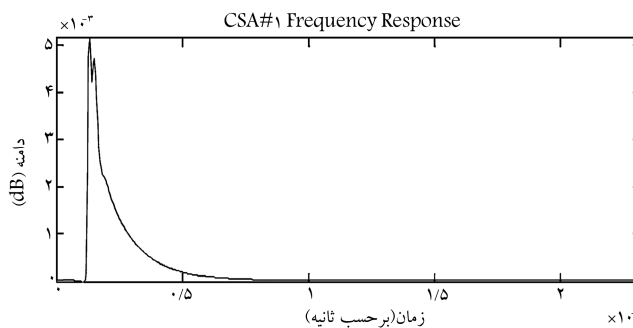
۶۰۰/۲۶



CSA#1 Frequency Response



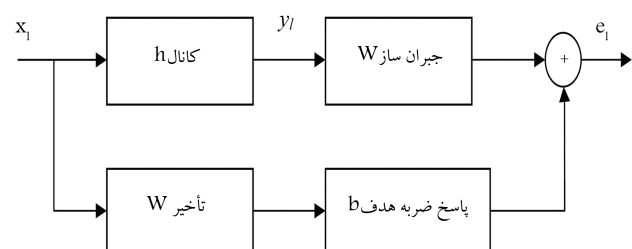
CSA#1 Frequency Response



شکل ۲. توپولوژی خط #۱ CSA Loop و پاسخ ضربه و پاسخ فرکانسی آن در این شکل مشاهده می‌شوند.

به طور خلاصه معاوی روش MGSNR عبارت‌اند از: ۱. محاسبات برپایه‌ی SNR زیرکانال تعریف شده با SNR_i^{EQ} است که شامل اثر ISI نیست؛ ۲. وابسته به پارامتر MSE_{max} است که برای کانال‌های متفاوت باید تنظیم شود؛ ۳. تابع هدف در معادله ۲۱ فرض می‌کند که b و w مستقل‌اند؛ ۴. این روش یک روش بهینه‌سازی شرطی غیرخطی^[۲۶] است؛ ۵. فرض می‌کند SNR در هر زیرکانال بزرگ‌تر از ۱ است.

سمعی فراوانی برای غلبه بر مشکل شماره ۴ شده است. در بررسی‌های پیشین، محققین روشی مبتنی بر تصویر^[۲۷] روی مجموعه‌های محدود^[۲۸] به طور بازگشتی، برای حل مسئله‌ی بهینه‌سازی غیرخطی شرطی با پیچیدگی محاسباتی کمتر ارائه دادند.^[۸] همچنانی روش شبیه‌سازی ژنتیک را که از پیچیدگی بسیار برخوردار بود برای حل مسئله‌ی بهینه‌سازی غیرخطی ارائه دادند.^[۹] پس از آن یک روش نیمه‌بهینه برپایه‌ی



شکل ۱. نمودار جبران‌ساز MMSE در این شکل مشاهده می‌گردد. جبران‌ساز یک فیلتر با پاسخ ضربه محدود w است. مسیر پائینی به طور فیزیکی وجود ندارد، اما استفاده از آن بخشی از روش طراحی است.

به گونه‌یی انتخاب می‌شود که $\sum_{i=0}^k \alpha_i = 1$ و مقدار مناسب برای m به طریق تجربی به دست می‌آید.

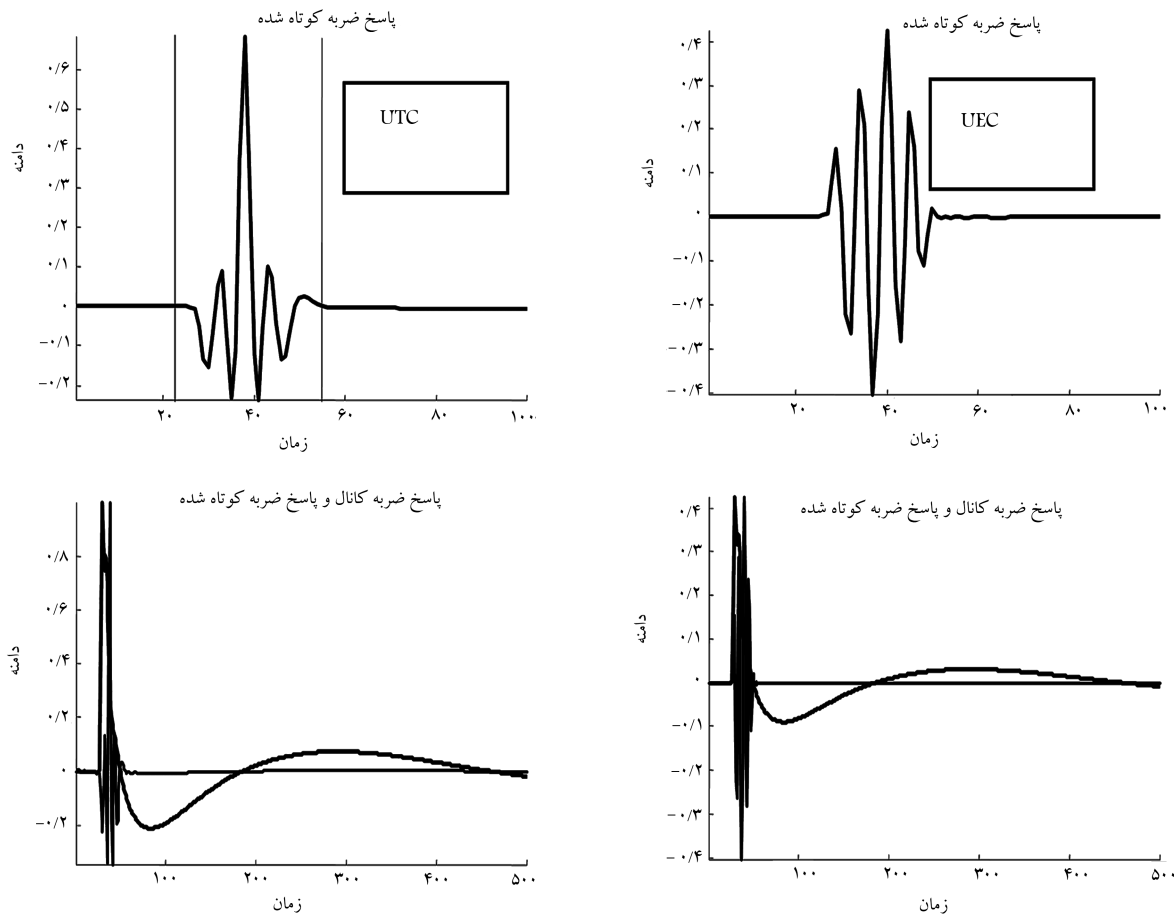
شبیه‌سازی روش‌ها و نتایج آن

اینکه به شبیه‌سازی سیستم فرستنده و گیرنده به همراه جبران‌سازهای متفاوت و برسی کارایی این جبران‌سازها می‌پردازیم. ساختار شبیه‌سازی این سیستم در محیط نرم‌افزار MATLAB پیاده‌سازی شده و با درنظرگرفتن محدودیت‌ها و شرایط عملی سیستم، نتایج واقع گرایانه‌یی را ارائه می‌نماید.

برای ارائه‌ی نتایج شبیه‌سازی یکی از حالاتی را که در آزمون و برسی سیستم‌های ADSL مورد استفاده قرار می‌گیرد را انتخاب، و نتایج پیاده‌سازی‌های فوق را برای این خط نمونه ارائه می‌دهیم. این خط نمونه که به نام #۱ CSA Loop شناخته شده است دارای طول معادل 775 ft و ضخامت AWG ۲۶ است و مسیر انشعابی به طول 60 ft در فاصله‌ی 590 ft از یک طرف دارد. پاسخ ضربه و دامنه‌ی پاسخ فرکانسی آن در شکل ۲ مشاهده می‌شوند.

در این قسمت با در نظر گرفتن مسیر بازگشت برای سیستم ADSL، خط

EIG-APP	MGSNR	DCM	DCC	MSSNR	MMSE (UTC)	MMSE (UEC)	ظرفیت (kbps)
۵۴۶۴	۵۲۳۶	۵۰۴۰	۴۱۳۲	۴۲۷۲	۵۲۹۴	۵۲۹۶	



شکل ۳. در نمودارهای این شکل، پاسخ ضربه کانال برای شرایط حلقه #۱ CSA (نمودارهای پایین) و نمودار پاسخ ضربه کوتاه شده (نمودارهای بالا) با استفاده از روش جبران‌سازی UTC (سمت راست) و روش جبران‌سازی UEC (سمت چپ) مشاهده می‌شوند.

گرفت. بردار b را می‌توان بر پایه‌ی این بردارها، طبق معادله‌ی ۲۳ بسط داد:

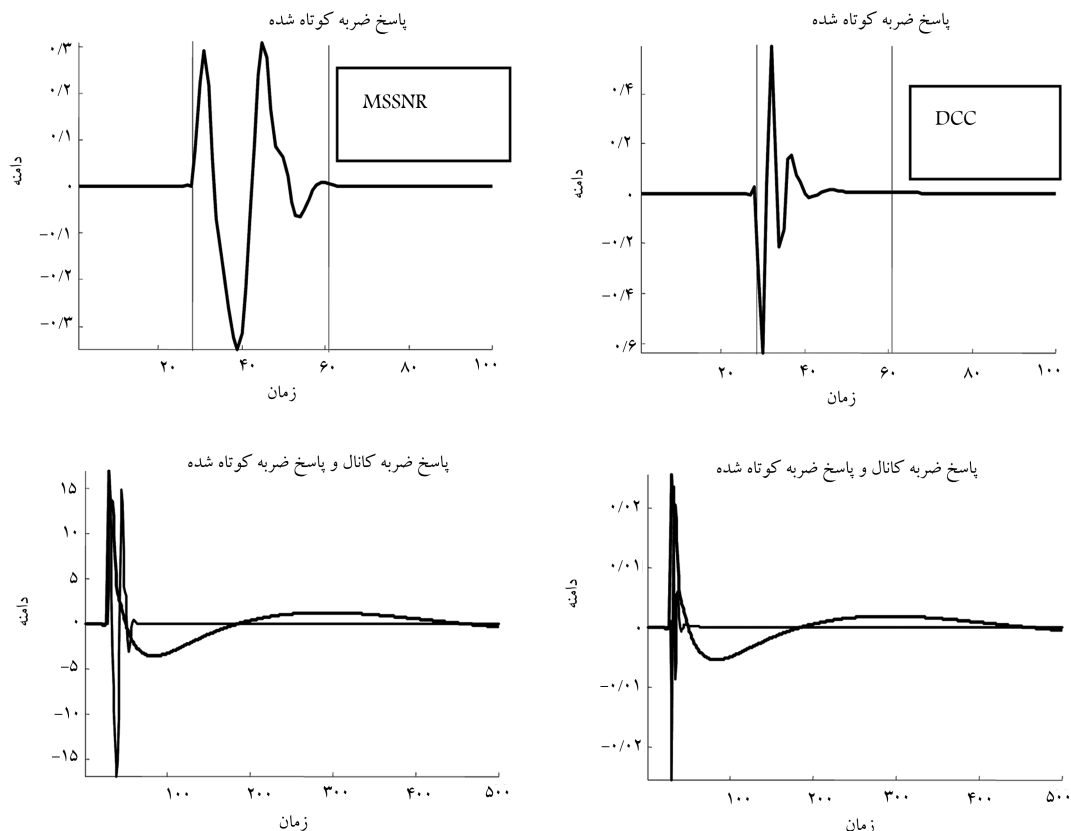
$$b = \sum_{i=0}^k \alpha_i p_i = P\alpha \quad (23)$$

که در آن $b = [b_0 \ b_1 \ \dots \ b_n]^T$ و $\alpha = [\alpha_0 \ \alpha_1 \ \dots \ \alpha_n]^T$ می‌باشد. TEQ را داشته باشد و MSE ناشی از این α_i ها بزرگ نشود. با جایگذاری معادله‌ی ۲۳ در معادله‌ی MSE خواهیم داشت:

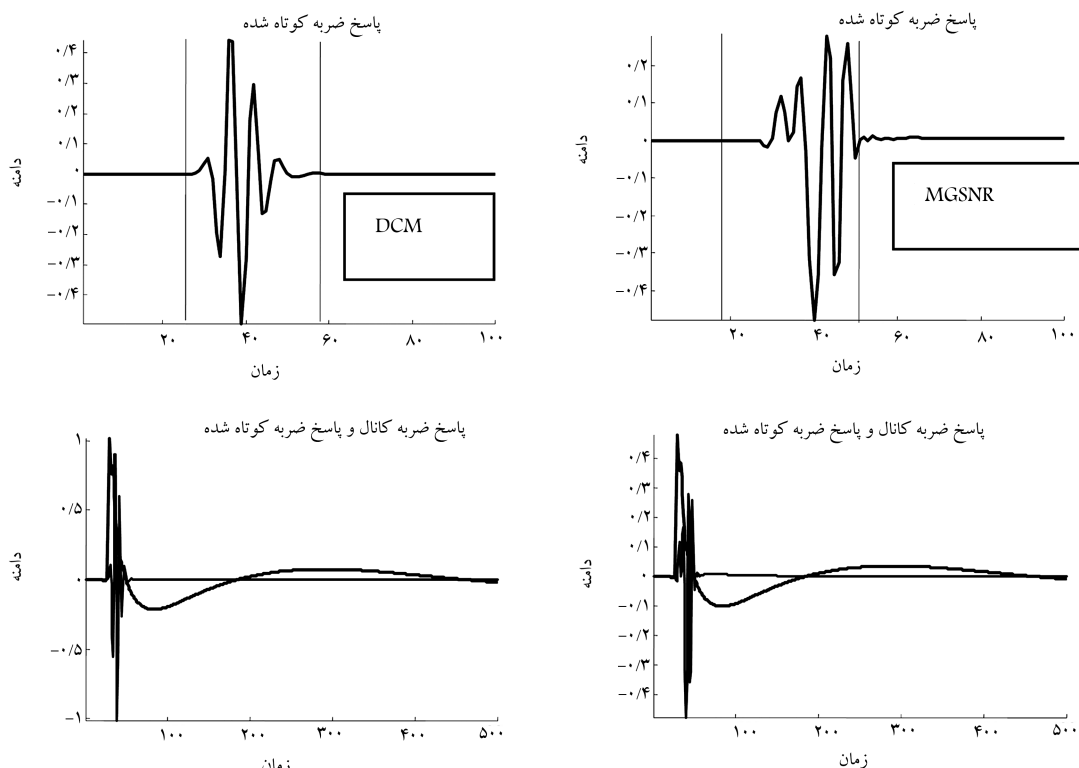
$$MSE = \sum_{i=0}^k \alpha_i^2 \lambda_i \quad (24)$$

همچنین شرط انرژی واحد روی b به صورت $\sum_{i=0}^k \alpha_i^2$ بیان می‌شود. طبق این معادله MSE برای TEQ، با میانگین وزنی و بیوی R_Δ بیان می‌شود. وزنه‌ها مقادیر α_i^2 هستند. برای آن که MSE کوچک نگه داشته شود، می‌توان α_i ها را متناسب با یک توان منفی از λ_i ها در نظر گرفت. یعنی:

$$\alpha_i = k \lambda_i^{-m} \quad i = 0, 1, \dots, n \quad (25)$$



شکل ۴. در نمودارهای این شکل، پاسخ ضربه کانال برای شرایط حلقه # CSA (نمودارهای پایین) و نمودار پاسخ ضربه کوتاه شده (نمودارهای بالا) با استفاده از روش جبران‌سازی DCC (سمت راست) و روش جبران‌سازی MSSNR (سمت چپ) مشاهده می‌شوند.



شکل ۵. در نمودارهای این شکل، پاسخ ضربه کانال برای شرایط حلقه # CSA (نمودارهای پایین) و نمودار پاسخ ضربه کوتاه شده (نمودارهای بالا) با استفاده از روش جبران‌سازی MGSNR (سمت راست) و روش جبران‌سازی DCM (سمت چپ) مشاهده می‌شوند.

نتیجه‌گیری

ساختارهای متعددی برای انجام دادن عملیات لازمه و پیاده سازی جبران ساز در گیرنده‌های سیستم های ADSL ارائه شده‌اند. در این ساختارها، عملیات لازم برای کاهش اثرات ناشی از اعوجاج و تداخل بین سمبیل‌ها که در اثر عبور از کاتال حاصل شده انجام می‌پذیرد.

در این نوشتار، مروری بر روش‌های مهم این حوزه صورت گرفت. این روش‌ها عبارتند از: روش بیشینه کردن نسبت سیگنال به نویز کوتاه شده، جبران‌ساز DC بر پایه‌ی حذف و کمینه کردن، بیشینه کردن نسبت سیگنال به نویز هندسی و طراحی بر پایه مقادیر ویژه. بررسی این روش‌ها نشان می‌دهد که روش طرحی بر پایه مقادیر ویژه دارای پیچیدگی محاسباتی کمتری نسبت به سایر روش‌ها است و می‌تواند نتایج بهتری را ارائه دهد.

CSA #۱، توان سیگنال ورودی برابر 20 dB ، فرکانس نمونه‌برداری برابر 8 MHz ، طول پیشوند حلقوی 24 برابر 32 ، طول FFT برابر 512 ، طول جبران‌ساز برابر 20 ، فاصله SNR برابر $9,8 \text{ dB}$ ، حاشیه برابر 6 dB ، بهره رمزگذاری برابر $4,2$ ، تأخیر در فاصله 15 تا 35 ، و نویز یکنواخت با توان 140 dBm و نویز همنوایی نزدیک ADSL در جهت رفت با 24 کاربر برای جبران‌سازهای متفاوت مقادیر ظرفیت متفاوتی به دست آمده است.

در شکل‌های 3 تا 5 نتایج شبیه‌سازی شامل پاسخ ضربه‌ی کاتال بدون جبران‌ساز و کاتال با جبران‌ساز در کنار یکدیگر آمده‌اند. برای امکان مقایسه نتایج با یکدیگر، طول فیلتر جبران‌ساز برای تمامی حالات زیر برابر 20 در نظر گرفته شده است. در جدول شکل 3 ، نرخ گزده‌ی به دست آمده برای این سیستم به ازای انواع مختلف جبران‌سازی‌های مورد نظر شبیه‌سازی و ارائه گردیده است.

پانوشت

1. discrete multi-tone (DMT)
2. time domain equalizer (TEQ)
3. frequency domain equalizer (FEQ)
5. minimum shortened signal to noise ratio (MSSNR)
6. shortened impulse response (SIR)
7. positive definite
8. singular
9. Divide-and-Conquer
10. convolution
11. tap
12. maximum geometric SNR
13. multicarrier channel
14. matched filter bound(MFB)
15. quadratur amplitude modulation (QAM)
16. Inter symbol Interference (ISI)
17. cost function
18. cross correlation
19. autocorrelation
20. Forcing Zero
21. nonlinear constrained optimization method
22. projection
23. convex
24. eigen approach
25. unitary similarity transform
26. Cyclic Prefix

منابع

1. Melsa, P.; Rohrs, C. and Younce R. "Joint optimal impulse response shortening," in Proc. IEEE Int. Conf. Acoust., Speech, and Signal Processing, **3**, (Atlanta, GA), pp. 1763-1766 (May 1996).
2. Yin, C. and Yue G. "Optimal impulse response shortening for discrete multitone transceivers," IEE Electronics Letters, **34**, pp. 35-36 (Jan. 1999).
3. Wang, B.; Adah, T.; Liu, Q. and Vlaynic, M. "Generalized channel impulse response shortening for discrete

multitone transceivers," in Proc. IEEE Asilomar Conference on Signals, Systems and Computers, **1**, (Pacific Grove, CA), pp. 276-280 (Nov. 1999).

4. Chiu, W.; Tsai, W. K.; Liau, T. C. and Troulis, M. "Time-domain channel equalizer design using the inverse power method," in Proc. IEEE Int. Conf. Comm., **2**, (Vancouver, Canada), pp. 973-977 (June 1999).
5. Lu, B.; Clark, L. D.; Arslan, G. and Evans, B. L. "Divide-and-conquer and matrix pencil methods for discrete multitone equalization," IEEE Transaction on Signal Processing, submitted.
6. Al-Dhahir, N. and Cioffi, J. "Optimum finite-length equalization for multicarrier transceivers," IEEE Trans. on Comm., **44**, pp. 56-63 (Jan. 1996).
7. Al-Dhahir, M. and Cioffi, J. "Bandwidth-optimized reduced-complexity equalized multicarrier transceiver," IEEE J. on Selected Areas in Comm., **45**, pp. 948-956 (Aug. 1997).
8. Lashkarian, N. and Kiaei, S. "Optimum equalization of multicarrier systems via projection onto convex set," in Proc. IEEE Int. Conf. Comm., **2**, (Vancouver, Canada), pp. 968-972 (June 1999).
9. Milisavljevic, M. and Verriest, E. I. "Fixed point algorithm for bit rate optimal equalization in multicarrier systems," in Proc. IEEE Int. Conf. Acoust., Speech, and Signal Processing, **5**, (Phoenix, AZ), pp. 2515-2518 (Mar. 1999).
10. Farhang-Bouroujeny, B. and Ding, M. "Design methods for time-domain equalizers in DMT transceivers," IEEE Trans. on Comm., **49**, pp. 554-562 (Mar. 2001).
11. Farhang-Bouroujeny, B. and Ding, M. "Design methods for time-domain equalizers in DMT transceivers," IEEE Transaction on Communications, **49**, pp. 554-562 (Mar. 2001).